

矩形ステップ上の非線形波浪干渉と碎波限界

合田 良実*・岡崎 健一**

1. はじめに

天然のリーフや、水深の大きな所に造成される人工干潟はその前面が急勾配であり、波の変形も急激である。こうした地形の極限の形は、前面が鉛直壁で上面が水平な矩形ステップであるといえる。

矩形ステップ上では、合田ら（1994）その他が報告しているように、入射波の2倍、3倍周波数成分が発達し、それらの振幅が場所的に変動することが知られている。しかし、その物理的メカニズムは不明なままである。本研究では、二次波峠の移動現象を解明した合田・賀川（1997）の方法を応用し、速度ポテンシャルの摂動展開によって高調波成分の挙動を分析することを第1の目的とする。さらに、ステップ上で碎波限界を定量的に明示することを第2の目的とする。

2. 摂動法による非線形干渉波の解析

（1）矩形ステップ周辺の波浪システム

いま矩形ステップの前面の一様水深部を領域I、ステップの上を領域IIと定義し、水深をそれぞれ h と h_* で表す。領域Iでは入射波と反射波、領域IIでは透過波が存在し、それぞれ1次オーダーの基本周波数成分波、2次オーダーの2倍周波数成分波、3次オーダーの1倍・3倍周波数成分波がある。このうち、境界周辺の定常減衰波を除く主要なものを図-1に示す。

（2）境界接続法による基本周波数成分波の解

井島（1971）に従い、領域I、IIにおける1次オーダー

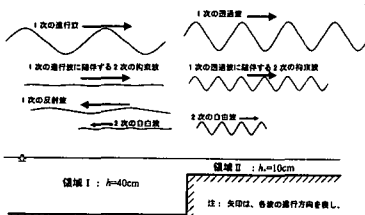


図-1 矩形ステップ周辺の波浪成分

の速度ポテンシャル ϕ_I 、 ϕ_{II} を次のように表す。

領域I ($x < 0$) :

$$\begin{aligned}\phi_I(x, z, t) = & ia(e^{-ikx} + C_R e^{ikx}) \frac{g}{\omega} \frac{\cosh k(z+h)}{\cosh kh} e^{i\omega t} \\ & + ia \sum_{m=1}^{\infty} S_m e^{\nu_m x} \frac{g}{\omega} \frac{\cos \nu_m(z+h)}{\cos \nu_m h} e^{i\omega t} \quad \dots(1)\end{aligned}$$

領域II ($x > 0$) :

$$\begin{aligned}\phi_{II}(x, z, t) = & ia C_R e^{-ik_* x} \frac{g}{\omega} \frac{\cosh k_*(z+h_*)}{\cosh k_* h_*} e^{i\omega t} \\ & + ia \sum_{n=1}^{\infty} Q_n e^{-\nu_n x} \frac{g}{\omega} \frac{\cos \nu_n(z+h_*)}{\cos \nu_n h_*} e^{i\omega t} \quad \dots(2)\end{aligned}$$

ここに x はステップ前端から岸向きの水平座標、 z は水面から上方正の鉛直座標、 ω は角周波数($=2\pi f$)、 C_R と C_T は複素反射率と透過率、 S_m と Q_n は定常減衰波の係数、 k 、 k_* 、 ν_m 、 ν_n は式(3)、(4)の分散関係式で定まる波数である。

$$a^2 = gk \tanh kh = -g\nu_m \tan \nu_m h \quad : m=1, 2, \dots, \quad (3)$$

$$a^2 = gk_* h_* \tanh k_* h_* = -g\nu_n \tan \nu_n h_* \quad : n=1, 2, \dots, \quad (4)$$

ここに g は重力加速度である。

反射率 C_R 、透過率 C_T 、および定常減衰波の係数 S_m と Q_n は、境界 $x=0$ における速度ポテンシャルと水平速度の連続性の条件から導かれる連立方程式を解くことによって求められる（井島（1971）参照）。

（3）1次波に随伴する拘束波

入射波、反射波、透過波はそれぞれ高次の拘束波を随伴する。水面の非線形境界条件の下に摂動展開の各次数ごとに解くことにより、入射波であれば波形の実数表示で次のように求められる（Goda・Abe（1968）参照）。

$$\begin{aligned}y(x, t) = & a \cos(kx - \omega t) + ka^2 b_{22} \cos 2(kx - \omega t) \\ & + \frac{1}{2} k^2 a^3 [b_{11} \cos(kx - \omega t) \\ & + b_{33} \cos 3(kx - \omega t)] \quad \dots(5)\end{aligned}$$

ここに

$$\left. \begin{aligned}b_{22} &= (1/4)(3c^3 - c) \quad : c = \coth kh \\ b_{11} &= (1/8)(3c^4 + 8c^2 - 9) \\ b_{33} &= (3/32)(9c^6 - 3c^4 + 3c^2 - 1) \end{aligned} \right\} \quad \dots(6)$$

反射波の場合には振幅 a が $C_R a$ で置き換わり、位相項 $(kx - \omega t)$ が $(kx + \omega t)$ となる。透過波では振幅が $C_T a$ で置き換わり、波数が k_* 、係数が $c = \coth k_* h_*$ で計算されることになる。なお、3次オーダーでは領域 I に入・反射波の非線形干渉波が存在する。

本研究で取り扱った実験の範囲では、 $a/h < 0.06$, $C_R < 0.4$ であったため、入射波の3倍周波数成分、反射波の2・3倍周波数成分、入・反射波の3次オーダーの干渉波は無視できる大きさであった。

(4) 2倍周波数の自由波

1次解については $x=0$ での境界連続条件が満たされているが、2次オーダーでは入・反射波の拘束波に比べて透過波の拘束波の振幅が大きいために連続条件が満たされない。この差を補償するものとして正負両方向へ自由波が発生する。まず、連続条件は次のとおりである。

$$\phi^{(2)} = \phi_{II}^{(2)} : -h_* < z \leq 0 \quad (7)$$

$$\frac{\partial \phi^{(2)}}{\partial x} = \begin{cases} \frac{\partial \phi_{II}^{(2)}}{\partial x} & : -h_* \leq z \leq 0 \\ 0 & : -h \leq z \leq -h_* \end{cases} \quad (8)$$

ここに上付き添字は摂動展開の次数である。2次オーダーの速度ポテンシャルは次のように表される。

$$\phi^{(2)} = \phi_I^{(2)} + \phi_R^{(2)} + \phi_F^{(2)} [+ \phi_S^{(2)}] \quad (9)$$

$$\phi_{II}^{(2)} = \phi_I^{(2)} + \phi_{F^*}^{(2)} [+ \phi_Q^{(2)}] \quad (10)$$

ここに下付き添字の P は入射波、 R は反射波、 T は透過波、 F と F^* は領域 I, II の自由波、 S と Q は領域 I, II の減衰定常波を表す。なお、Massel (1983) による矩形ステップの非線形波浪変形の理論では減衰定常波の2次オーダー項も考慮しているが、計算式が非常に煩雑になるため、本研究では無視することとした。

2次オーダーの自由波の速度ポテンシャルとしては、次の形のものを仮定する。

$$\begin{aligned} \phi_P^{(2)}(x, z, t) &= a^2 \omega B_F \frac{\cosh k_{2F}(h+z)}{\sinh k_{2F}h} \\ &\times \left\{ \exp[i(k_{2F}x + 2\omega t)] - \exp[-i(k_{2F}x + 2\omega t)] \right\} \end{aligned} \quad (11)$$

$$\begin{aligned} \phi_{F^*}^{(2)}(x, z, t) &= a^2 \omega B_{F^*} \frac{\cosh k_{2F^*}(h_*+z)}{\sinh k_{2F^*}h_*} \\ &\times \left\{ \exp[-i(k_{2F^*}x - 2\omega t)] - \exp[i(k_{2F^*}x - 2\omega t)] \right\} \end{aligned} \quad (12)$$

ここに k_{2F} と k_{2F^*} は次の分散関係式による波数である。

$$4\omega^2 = gk_{2F} \tanh k_{2F}h = gk_{2F^*} \tanh k_{2F^*}h_* \quad (13)$$

式 (11), (12) 中の係数 B_F , B_{F^*} は、両式を2次オーダーの拘束波の速度ポテンシャルとともに連続条件式に代入し、水底から水面までの積分値について連続式を満足させるように、直交関数系の性質を利用して数式を整

理することによって、以下のように求められる。

$$B_F = \frac{D_1(A_2 - C_2) - D_2(A_1 - C_1)}{B_1 D_2 - B_2 D_1} \quad (14)$$

$$B_{F^*} = \frac{B_1(A_2 - C_2) - B_2(A_1 - C_1)}{B_1 D_2 - B_2 D_1} \quad (15)$$

上式中の各係数は以下のとおりである。

$$\begin{aligned} A_1 &= \frac{3}{8} i(1 + |C_R|^2) \frac{\coth^4 kh - 1}{\cosh 2kh} \\ &\times [(2k \tanh 2kh - k_{2F^*} \tanh k_{2F^*}h_*) \cosh 2kh \\ &\times \cosh k_{2F^*}h_* - 2k \sinh 2k(h - h_*)] / [4k^2 - k_{2F^*}^2] \end{aligned} \quad (16)$$

$$\begin{aligned} A_2 &= \frac{3}{4}(1 - |C_R|^2) \frac{\coth^4 kh - 1}{\cosh 2kh} \\ &\times [k(2k \tanh 2kh - k_{2F} \tanh k_{2F}h) \cosh 2kh \\ &\times \cosh k_{2F}h] / [4k^2 - k_{2F}^2] \end{aligned} \quad (17)$$

$$B_1 = \frac{k_{2F}}{k_{2F^*}^2 - k_{2F}^2} \sinh k_{2F}(h - h_*) \quad (18)$$

$$B_2 = \frac{1}{4} i(\sinh 2k_{2F}h + 2k_{2F}h) \quad (19)$$

$$\begin{aligned} C_1 &= \frac{3}{8} i|C_T|^2 \frac{\coth^4 k_* h_* - 1}{\cosh 2k_* h_*} \\ &\times [(2k_* \tanh 2k_* h_* - 2k_{2F^*} \tanh k_{2F^*}h_*) \\ &\times \cosh 2k_* h_* \cosh k_{2F^*}h_*] / [4k_*^2 - k_{2F^*}^2] \end{aligned} \quad (20)$$

$$\begin{aligned} C_2 &= \frac{3}{4} i|C_T|^2 \frac{\coth^4 k_* h_* - 1}{\cosh 2k_* h_*} \\ &\times k_* [(2k_* \tanh 2k_* h_* - k_{2F} \tanh k_{2F}h) \\ &\times \cosh 2k_* h_* \cosh k_{2F}h - k_{2F} \sinh k_{2F} \\ &\times (h - h_*)] / [4k_*^2 - k_{2F}^2] \end{aligned} \quad (21)$$

$$D_1 = \frac{1}{4k_{2F^*}} (\sinh 2k_{2F^*}h_* + 2k_{2F^*}h_*) \quad (22)$$

$$D_2 = -i \frac{k_{2F^*}k_{2F}}{k_{2F^*}^2 - k_{2F}^2} \sinh k_{2F}(h - h_*) \quad (23)$$

この速度ポテンシャルから、領域 I, II の2次オーダーの自由波の水面波形 $\eta_F^{(2)}$, $\eta_{F^*}^{(2)}$ は次のように求められる。

$$\eta_F^{(2)}(x, t) = -ik_{2F}a^2 B_F \cos(k_{2F}x + 2\omega t) \quad (24)$$

$$\eta_{F^*}^{(2)}(x, t) = -ik_{2F^*}a^2 B_{F^*} \cos(k_{2F^*}x - 2\omega t) \quad (25)$$

なお、係数 B_F , B_{F^*} は虚数であり、式 (24), (25) は実数値である。

(5) 2倍周波数成分の振幅変調

領域 I, II ともに2倍周波数成分には拘束波と自由波のものがあり、それらは位相速度が異なるため、波形のフーリエ解析で得られる振幅は一定間隔で増減を繰り返す。領域 I では、反射波に随伴する拘束波の振幅が小さいのでこれを無視すると、2倍周波数成分振幅が次のように計算される。

$$(a_1)_{2\omega}^2 = a_{2F}^2 + 2a_{2P}a_{2F} \cos(2k + k_{2F})x + a_{2F}^2 \quad (26)$$

ここに、

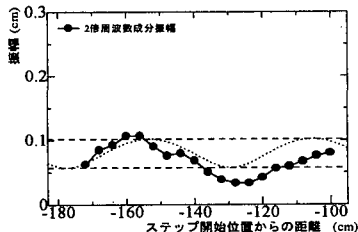


図-2 領域における2倍周波数成分の振幅の空間分布
($T=1.425\text{ s}$, $H=3.10\text{ cm}$)

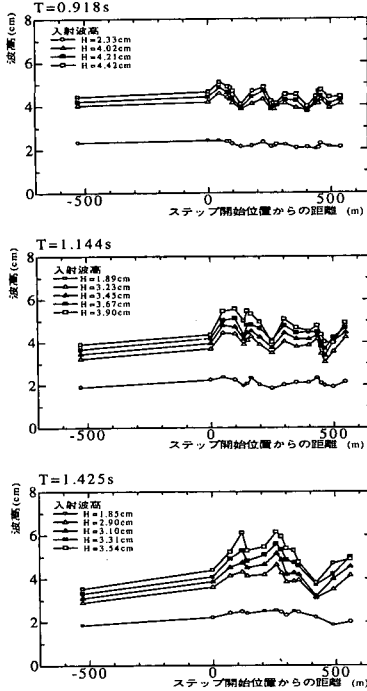


図-3 波高の空間分布の例

は周期的な増減を繰り返す。

こうした各地点の波形記録をフーリエ解析し、1倍、2倍、3倍周波数成分振幅の場所的变化を求めた例が図-4である。記号の△, ●, ◇は各周波数に対応させており、これ以降の図-5, 6も同じである。

(5) フーリエ成分振幅の理論と実験との比較

図-4のような実験値に対し、1倍周波数振幅については式(35), 2倍・3倍周波数振幅については式(28), (36)で予測される理論値と比較した例が図-5である。図から明らかなように、実験値は理論値とかなりよく合っており、今回の解析の妥当性を例証している。

なお、理論値の計算の際の透過波振幅 Cra としては、境界接続法による理論値ではなく、1倍周波数振幅の場所的変動の平均値を用いている。

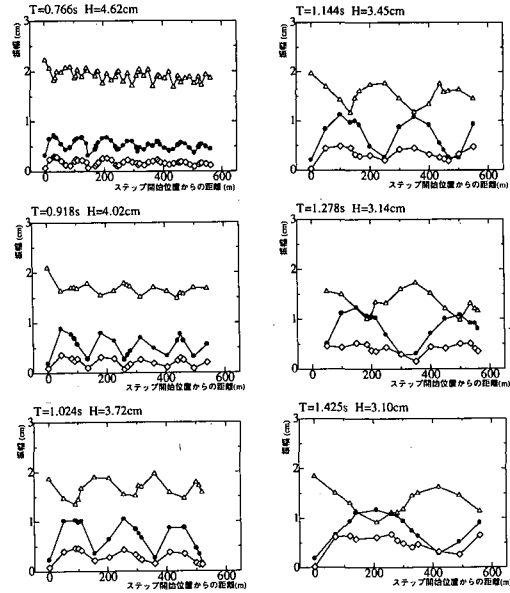


図-4 フーリエ成分振幅の空間分布の例
(△, ●, ◇印はそれぞれ1倍, 2倍, 3倍周波数振幅)

4. 矩形ステップ上の碎波限界

入射波高を徐々に大きくしていくと、2倍周波数振幅が最初に最大となる地点、すなわち波高が極大となるあたりで碎波が発生する。図-6の中の下向きの矢印がそうした地点である。実験では碎波が予測される地点の周辺の波形を注視し、波の山がわずかに崩れ始めた状態を碎波と定義した。なお、周期が長くなると図-6の $T=1.425\text{ s}$, 1.591 s の例のように、3倍周波数振幅が最大となる2個所で碎波が目視される場合が多くなる。

このような目視結果に基づき、碎波限界の波高水深比を求めた結果が図-7である。図中の黒丸は碎波と判定されたケース、白丸は非碎波のケースである。限界波高水深比は周期によって上下して交じり合い、境界線を引くのがやや恣意的にならざるを得ない。しかし、合田(1975)の碎波指標で水底勾配を0とした場合の次式をあてはめて定数を求めたところ、 $A=0.130$ の結果が得られた。

$$H_b/L_0 = A[1 - \exp(-1.5\pi h_*/L_0)] \quad \dots \dots \dots (38)$$

先に合田・森川・岡崎(1997)が水平ステップへの取り付け斜面の勾配を変えて碎波限界を調べた結果と合わせると、水平ステップの碎波限界は定数 A の値として表-1のように表示することができる。前面勾配1:2の台形地形については先に $A=0.14$ の値を報告したが、これは碎波限界として波峰の崩れが明瞭な場合を採択したためと考えられる。今回の定義によれば $A \approx 0.133$ 程度になると推測される。

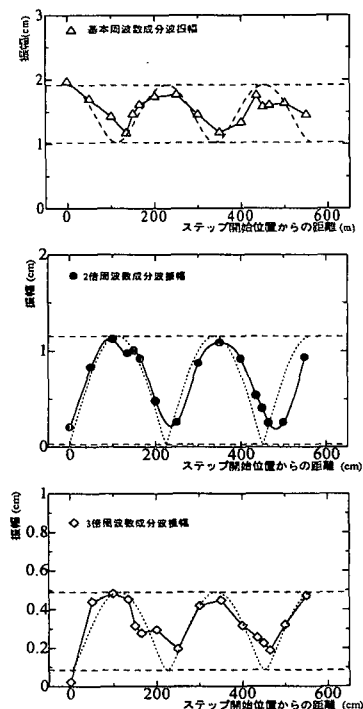


図-5 フーリエ成分振幅の理論と実験との比較
($T=1.144$ s, $H=3.45$ cm)

表-1 水平ステップ上の破波指標の定数値A

前面勾配	鉛直	1:5	1:10	1:20	1:40	1:80	1: ∞
定数A	0.130	0.135	0.136	0.145	0.155	0.159	0.17

5. むすび

矩形ステップ上の波の波形分裂現象について、摂動法による解析を行った。波形分裂の主因は、ステップ先端の境界で発生する自由波であり、この自由波は1次オーダーの透過波と干渉し合って3次オーダーの1倍・3倍周波数成分を発生させる。

本研究では、境界周辺の定常減衰波の2次オーダー項を無視した近似計算を行ったが、理論は実験値によってその妥当性が検証された。

また、こうした高調波の増大によって碎波限界波高は一様水深の場合よりも低下する。矩形ステップに対して碎波限界波高を実験で求めた結果は、合田・森信・岡崎(1997)が水平ステップ取付斜面の影響を調査した結果の延長上にあり、碎波指標に関する一連のデータとして取りまとめられた。

参考文献

井島武士(1971): 最近の波浪理論における境界値問題の解法と

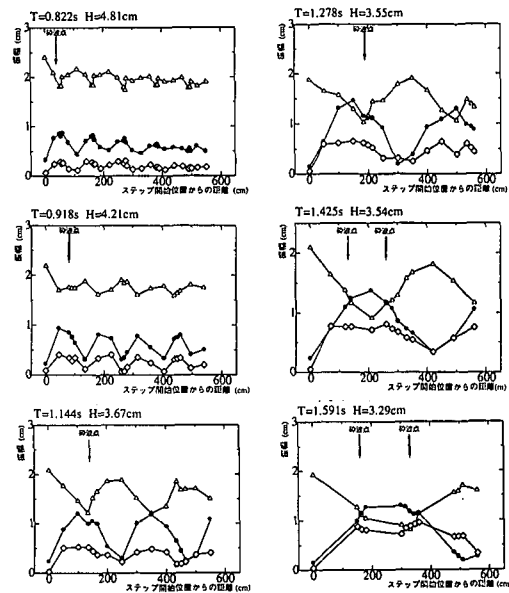


図-6 碎波位置とフーリエ成分振幅との関係
(△, ●, ◇印はそれぞれ1倍, 2倍, 3倍周波数振幅)

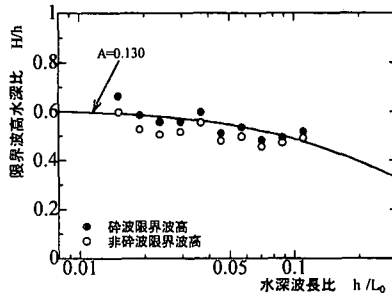


図-7 矩形ステップ上の碎波限界波高比

その応用、水工学夏期研修会講義集, pp. B-1-1~28.

合田良実(1975): 浅海域における波浪の碎波変形、港研報告, 14(3), pp. 59-106.

合田良実・賀川真有(1997): 造波水路内の波峰分裂のメカニズムについて、海岸工学論文集、第44巻, pp. 6-10.

合田良実・森川耕太・岡崎健一(1997): 水平ステップ上の碎波限界に関する実験的研究、海岸工学論文集、第44巻, pp. 66-70.

合田良実・Wudhipong Kittitanasuan・江指好美(1994): 矩形ステップによる波の変形特性について、海岸工学論文集、第41巻, pp. 646-650.

Goda, Y. and Y. Abe (1968): Apparent coefficient of partial reflection of finite amplitude waves, PHRI Rept. 7(3), pp. 3-58.

Massel, S. R. (1983): Harmonic generation by waves propagating over a submerged step, Coastal Engng. 7, pp. 357-380.